

# オイルダンパーを取り付けたケーブルの振動性状について

東北工業大学 正員 高橋 龍夫

・ 〇松山正将

・ 山田俊次

## 1. まえがき

本文は、ケーブルの様に可撓性の大きな構造物に、粘性抵抗力(以下ではオイルダンパー)が集中的に作用した場合の、振動性状について考察するものである。これまで、この種の基礎的資料として、比較的小さなサグの依次のための振動について、解析値と若干の実験値を示してきている。今回は、新たな弹性自由度わみ振動の実験値を主に、減衰効果、振動数の変化、振動形について報告するものである。

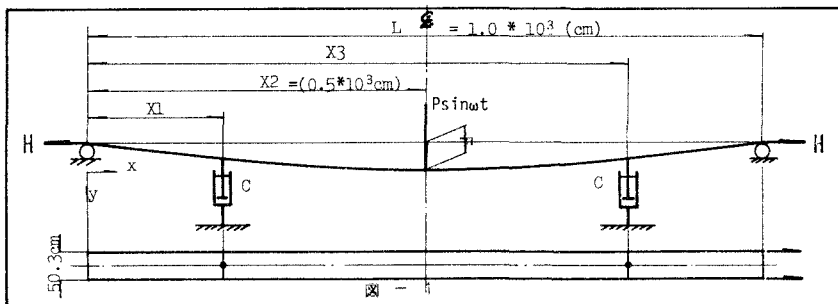
## 2. 実験と解析に用いた模型諸元と実験方法

### 2-1. 振動モデル

図-1に示す記号を用い、次なる仮定のもとにデルタ関数を使用して、方程式を導くと次式となる。

ケーブル形状は放物線とし、水平方向へ等分布質量 $m$ を抱うて、ケーブルの自重は無視する。振動振幅は微少であると考え、振動たわみによる水平反り $\delta$ を増分も無視する。初期条件は、 $t=0, y(0, x)=0; \dot{y}(0, x)=0$ ; 節界条件は、 $x=0, y(x, 0)=0; x=L, y(x, L)=0$ である。

$$m \frac{\partial^2 y}{\partial x^2} - H \frac{\partial^2 y}{\partial x^2} + C \frac{\partial^2 y}{\partial x^2} \{ \delta(x-x_1) + \delta(x-x_2) \} = P \sin \omega t + \delta(x-x_2)$$



### 2-2 実験模型諸元及び実験方法

スパン $l = 1.0 \times 10^3$  (cm), 荷重 $P = 1.386 \times 10^4$  (kg/cm),  $A_c = 1.38 \times 10^4$  (cm $^2$ ),  $E_c = 0.872 \times 10^6$  (kg/cm $^2$ ), 平行ケーブル間隔 50.3 (cm); なお、サグの調整には、アンロード時に取り付けたターンバックルを行う方法を採ってい。

対称に配置したダンパーは、ピストン式オイルダンパーであり、オイルにはシリコンオイルを使用した。

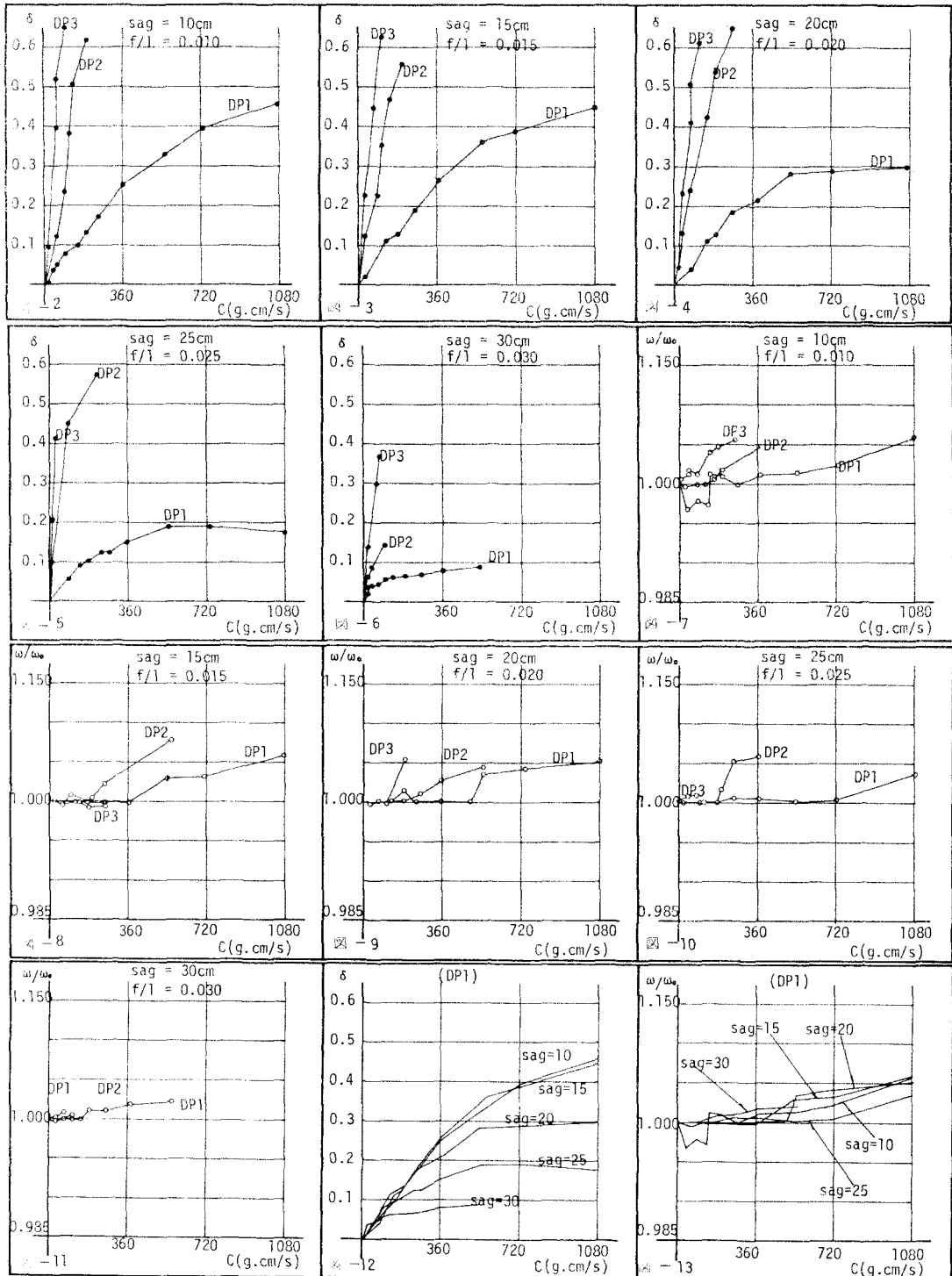
この模型に対する初期振動は、人力下手元、充分過渡振動が減衰して後、測定にほしくいる。

## 3. 実験結果及び考察

図-2～図-6は、ダンピング効果について、ケーブルのサグを一定とし、ダンパーポイントと(DP1はスパン $\frac{L}{10}$ 点に対称に取り付けた場合で、以下同様に、DP2は $\frac{2L}{10}$ , DP3は $\frac{3L}{10}$ 点を示す)；ダンパーのダンピング係数を変化させた場合の結果を示しており、縦軸に対数減衰率、横軸にダンピング係数をとっている。図-7～図-11は、同じ場合の振動数変化を示したものである。縦軸は、測定のサグのダンパーを取り付けていない場合の固有振動数との比をとつており、横軸は、ダンピング係数である。図-12は、DP1の場合について、サグ別に対数減衰率とダンピング係数との関係を示しており、図-13は、DP1のサグ別振動数比の関係を示したものである。

やはり、ケーブルの場合は、曲げ剛性を有する梁と比較して、粘性抵抗力が振動性状に与える影響は大きく、減衰率、振動数、振動形への変化は顕著に表われる。対数減衰率について云えば、当然の事ながら、各サグにおいて、 $DP1 < DP2 < DP3$  という傾向を示し、ダンピング係数が小さい範囲でおよそ $DP1:DP2:DP3$

図-1, 2, 3: 2.5 の傾斜に沿う。振動数比について、各サゲにおいてダンピング係数が大きくなると減衰傾向を示す。なお、表面の筋谷工、振動形及び解説済み比較については当日発表する予定である。



\*本実験 資料作成：分科会、東北大学学生、河原宏行、石川直秀、内閣入野：参考文献：上河原宏行、橋梁の構造について（第3回建築技術講習会）（日本建築学会）著者、内閣、1972年  
著者と表に付された事は付記せざる。